

## ЛИТЕРАТУРА

1. Кесаев И. Г. Катодные процессы электрической дуги.— М.: Наука, 1968.
2. Раховский В. И. Физические основы коммутации электрического тока в вакуме.— М.: Наука, 1970.
3. Jüttner B. Erosion craters and arc cathode spots in vacuum // Plasma Physik.— 1979.— V. 19, N. 1.

Поступила 3/VII 1986 г.

УДК 533.95

## РАЗРЯД, ВОЗНИКАЮЩИЙ ПРИ ВЫТЕКАНИИ МАГНИТНОГО ПОТОКА ИЗ ПЛАЗМЫ В ИЗОЛЯТОР

C. F. Гаранин

(Москва)

При рассмотрении многих задач, таких как удержание плазмы с магнитным полем стенками, сжатие замагниченной плазмы лайнераами и т. д., необходим учет потерь магнитного потока и плазмы из-за диффузии поля и теплопроводности на стенку. Роль разряда, возникающего в плазме при вытекании из нее магнитного потока, должна быть особенно существенной для водородной плазмы, проводимость которой из-за слабого влияния излучательных процессов может быть велика по сравнению с проводимостью плазмы в магнитоприжатом разряде [1], возникающем на поверхности стенки. В этом случае, если плотность плазмы окажется недостаточно малой, сопротивление разряда будет определяться разрядом по водородной плазме.

Развитие этого разряда рассмотрим в следующей постановке: имеется водородная плазма с магнитным полем, ограниченная жесткой непроводящей стенкой-изолятором. Эта задача решалась в [2, 3] на качественном уровне, и в результате эффективный коэффициент диффузии для плазмы с  $\beta \ll 1$  ( $\beta = 16\pi N_0 T_0 / H_0^2$  — отношение теплового давления плазмы к магнитному давлению,  $N_0$ ,  $T_0$ ,  $H_0$  — плотность, температура и магнитное поле в плазме вдали от разрядной зоны)  $D \sim cH_0 / 4\pi e N_0$ , для  $\beta \gg 1$   $D \sim cT_0 / 10eH_0$ .

В настоящей работе количественно рассмотрена структура пристеночного токового слоя и сформулировано граничное условие, с помощью которого можно описать влияние этого разряда на движение плазмы во всем объеме.

Пусть все величины зависят от координаты  $X$  и времени  $t$ , магнитное  $H$  и электрическое  $E$  поля перпендикулярны друг другу и оси  $X$ , характерные времена велики по сравнению с газодинамическими, так что полное давление в системе успевает выравниваться:

$$(1) \quad 2NT + H^2/8\pi = p_0 = 2N_0 T_0 + H_0^2/8\pi.$$

Плотность плазмы в основном объеме предполагается малой по сравнению с плотностью в пристеночной разрядной зоне. В этом случае, как показано в [2], задача квазистационарная, т. е. в уравнениях магнитного и электрического полей и теплового баланса плазмы в разрядной зоне можно пренебречь производными по времени, а электрическое поле и поток энергии считать постоянными. Тогда эти уравнения имеют вид

$$(2) \quad E = -\frac{c}{4\pi e} \frac{\partial H}{\partial X} - \frac{b_\Lambda}{e} \frac{\partial T}{\partial X}, \quad Q = -\chi \frac{\partial T}{\partial X} - \frac{cT}{4\pi e} b_\Lambda \frac{\partial H}{\partial X} + \frac{c}{4\pi} EH,$$

где  $\sigma$ ,  $\chi$ ,  $b_\Lambda$  — поперечные проводимость, теплопроводность и термоэлектрический коэффициент;  $Q$  — поток энергии. Масса плазмы, накапливаемая в пристеночном слое,

$$(3) \quad a = \int_0^{X_0} N dX$$

( $X_0$  — граница разрядной зоны). Стенка является плоскостью  $X = 0$ , плазма находится в области  $X > 0$ . Тогда граничные условия к уравнениям (1), (2) следующие:

$$(4) \quad T(0) = 0, \quad H(0) = H_1, \quad N(X_0) = 0$$

( $H_1$  — магнитное поле в изоляторе). Поток энергии, втекающий в разрядную зону из плазмы,  $Q = \frac{c}{4\pi} EH_0 + 5N_0 T_0 v$  ( $v$  — скорость втекающей плазмы). В силу условия вмопрежности магнитного поля в плазму вдали от изолятора

$$(5) \quad v = cE/H_0$$

$$\text{и, значит, } Q = \frac{c}{4\pi} EH_0 \left(1 + \frac{5}{4}\beta\right).$$

На границе плазмы с изолятором в силу (4) плазма не замагничена. В этой области по мере удаления от стенки с ростом температуры увеличиваются коэффициенты  $\chi$ ,  $b_\Lambda$ , характерные размеры  $X$ , соответствующие температуре  $T$ , растут, согласно (2), и происходит накопление разрядной плазмы. При замагничивании плазмы коэффициенты  $\chi$ ,  $b_\Lambda$  уменьшаются, следовательно, уменьшаются характерные размеры  $X$  и одновременно плотность. Поэтому главный вклад в массу плазмы, накапливаемую в разряде, будет давать область, в которой степень замагниченности электронов  $\omega_e \tau_e \sim 1$ . В качестве единицы измерения давления в задаче естественно выбрать  $p_0$ , а единицы измерения температуры  $[T]$  и плотности  $[N]$  выбрать таким образом, чтобы при  $T = [T]$ ,  $N = [N]$   $p = p_0$ , а  $\omega_e \tau_e \sim 1$  (см. [1]). Из этих условий получаем

$$(6) \quad [T] = (\sqrt{p_0} c \lambda e^3 \sqrt{m})^{2/5}, \quad [N] = p_0^{4/5} / (c \lambda e^3 \sqrt{m})^{2/5}$$

( $m$  — масса электрона,  $\lambda$  — кулоновский логарифм).

Единицу измерения координаты  $X$  удобно выбирать, исходя из уравнений (2), подставив в них в качестве температуры и плотности  $[T]$  и  $[N]$  из (6). Тогда, вводя безразмерную координату  $x = -\frac{E}{e^{0.2} m^{0.2} c^{0.4} \lambda^{0.4} p_0^{0.2}} X$  (электрическое поле  $E$  отрицательно) и безразмерные

$$(7) \quad \theta(x) = T/[T], \quad n(x) = N/[N], \quad h(x) = H/\sqrt{8\pi p_0}, \quad \xi = -eEa/p_0,$$

систему уравнений (1)–(3) можно переписать в виде

$$(8) \quad \begin{aligned} 2n\theta + h^2 &= 1, \quad \frac{4}{3} \frac{\alpha}{\varrho^{3/2}} h' + b\theta' = 1, \\ b\theta h' + \frac{3}{4} \left( \gamma + \frac{\gamma_i}{\sqrt{912A}} \right) \theta^{5/2} \theta' &= \frac{1 + 1.25\beta}{\sqrt{1 + \beta}} - h, \\ \xi &= \int_0^{x_0} n dx, \end{aligned}$$

где  $\alpha$ ,  $b$ ,  $\gamma$ ,  $\gamma_i$  зависят от степени замагниченности  $y = \omega_e \tau_e = \frac{3}{2} \frac{h}{n} \theta^{3/2}$

и определяются приближенными формулами [4]

$$\begin{aligned} \alpha &= 1 - \frac{6.42y^2 + 1.86}{\Delta}, \quad b = \frac{y(1.5y^2 + 3.05)}{\Delta}, \quad \gamma = \frac{4.66y^2 + 12.1}{\Delta}, \\ \gamma_i &= \frac{2y_i^2 + 2.64}{y_i^4 + 2.7y_i^2 + 0.677}, \quad \Delta = 3.77 + 14.8y^2 + y^4, \quad y_i = y/\sqrt{912A} \end{aligned}$$

( $A$  — атомный вес). Здесь в отличие от [1] учтен член  $\gamma_i$ , представляющий ионную теплопроводность, который является малой поправкой. Учет ионной теплопроводности, однако, меняет поведение решения в области сильной замагниченности  $x \approx x_0$ . Границные условия (4) в новых обозначениях запишутся как

$$(9) \quad h(0) = h_1, \quad \theta(0) = 0, \quad n(x_0) = 0, \quad h_1 = H_1/\sqrt{8\pi p_0}.$$

Оценим порядки величин, характеризующих разрядную зону при больших  $\beta$ . В этом случае из уравнений (8) следует, что главный вклад в электрическое поле дает термоэлектрический перенос магнитного потока,

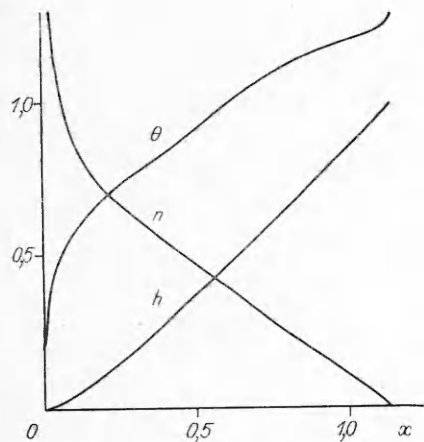


Рис. 1

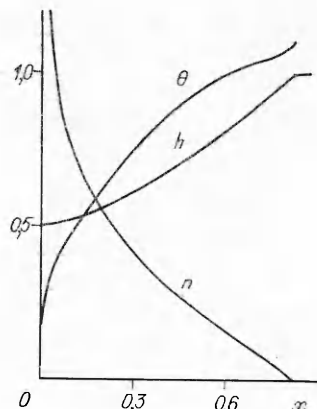


Рис. 2

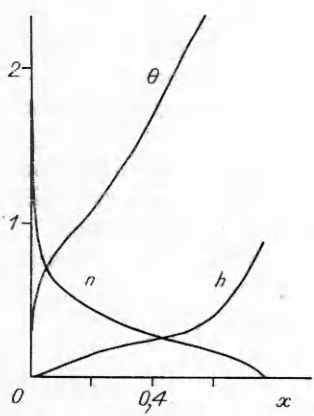


Рис. 3

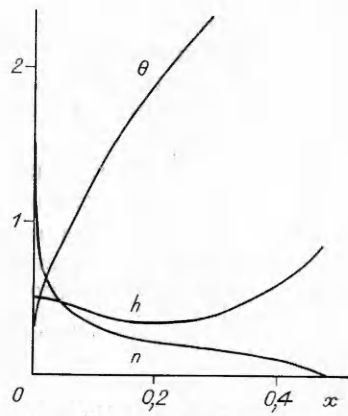


Рис. 4

а в поток энергии — теплопроводность. Тогда с учетом того, что в зоне разряда  $y \sim 1$ , получим  $h \sim 1/\sqrt{\beta}$ ,  $T \sim \beta^{0.2}$ ,  $n \sim \beta^{-0.2}$ ,  $x \sim \beta^{0.2}$ ,  $\xi \sim 1$ . Таким образом, параметр  $\xi$ , характеризующий накапливаемую массу, слабо зависит от  $\beta$ , меняясь лишь при  $\beta \sim 1$ .

Результаты численных расчетов системы (8) с граничными условиями (9) для  $h_1 = 0; 0.5; 0; 0.5$ ,  $\beta = 0; 0; 10; 10; A = 2$  представлены на рис. 1—4, а зависимость  $\xi$  от  $\beta$  и  $h_1$  — на рис. 5 ( $h_1 = 0; 0.25; 0.5; 0.75$  — линии 1—4).

Расчеты показали, что термоэлектрические явления, которые играют главную роль в переносе магнитного потока при  $\beta \gg 1$  и приводят к выносу магнитного потока даже в изолятор с большим, чем в плазме, магнитным полем (рис. 4), при  $\beta \sim 1$  численно не очень существенны. Так, если в уравнениях (8) положить  $b = 0$ , то при  $\beta = 0$ ,  $h_1 = 0$  значение  $\xi$  уменьшится всего на 13%. Заметное уменьшение  $\xi$  (примерно на 30%) при отключении термоэлектрических потоков происходит лишь при  $\beta \approx 10$ . Весьма малый вклад в накапливаемую массу  $\xi$  вносит ионная теплопроводность, представляющая собой поправку  $\sim 1/\sqrt{912A}$ , отключение которой при  $\beta = 0$ ,  $h_1 = 0$  уменьшает  $\xi$  на 2%.

Рассмотрим динамику осаждения плазмы. Скорость накопления массы  $da/dt =$

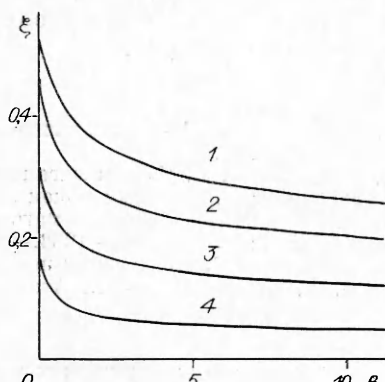


Рис. 5

$= N_0 v$ , согласно (5), (7), определяется из дифференциального уравнения  $a \frac{da}{dt} = \xi(\beta, h_1) \frac{c}{e} \frac{p_0 N_0}{H_0}$ , которое для всего объема плазмы можно рассматривать как граничное условие, описывающее потери плазмы и магнитного потока. При  $H_0(t) = \text{const}$ ,  $N_0(t) = \text{const}$ ,  $p_0(t) = \text{const}$ ,  $H_1(t) = \text{const}$ ,  $\beta(t) = \text{const}$  осаждение плазмы происходит по диффузионному закону

$$(10) \quad a = \sqrt{2\xi \frac{c}{e} \frac{p_0 N_0}{H_0} t},$$

$$E = \sqrt{\frac{\xi}{2ec} \frac{p_0 H_0}{N_0 t}}, \quad [X] = \frac{c^{0.7} m^{0.2} e^{0.9} \lambda^{0.4}}{p_0^{0.3}} \sqrt{\frac{2N_0 t}{\xi H_0}}.$$

Эффективный коэффициент диффузии в этом случае  $D \sim 2\xi c p_0 / e N_0 H_0$ , что при  $\beta \ll 1$ , когда  $\xi \simeq 0.5$  (рис. 5), дает  $D \sim c H_0 / 8\pi e N_0$  и примерно соответствует оценке [2], а при  $\beta \gg 1$ , когда  $\xi \simeq 0.25$  (рис. 5),  $D \sim c T_0 / e H_0$  и превышает оценку [3] и бомовскую теплопроводность примерно на порядок.

Рассмотрим теперь вопрос об условиях применимости приведенного решения задачи о пристеночном разряде. Ограничимся при этом областью магнитных полей мегагауссного диапазона и значениями  $\beta \sim 1$ . Плотность плазмы  $N_0$  должна быть много меньше плотности плазмы в разрядной зоне, т. е. в соответствии с [1]  $N_0(\text{см}^{-3}) < 3 \cdot 10^{20} H^{1.6}$  (МГс). В этом случае задачу можно считать квазистационарной и пользоваться уравнениями (2) и граничным условием  $N(X_0) = 0$ . При  $N_0(\text{см}^{-3}) \gtrsim 3 \cdot 10^{20} \times H^{1.6}$  (МГс) плотность плазмы в разрядной зоне порядка  $N_0$  и проведенные вычисления неприменимы. Условие того, что потерями на излучение в разрядной зоне можно пренебречь, дает

$$(11) \quad N_0(\text{см}^{-3})t(\text{мкс}) < 0.8 \cdot 10^{20} H^{0.2} (\text{МГс}).$$

Кроме того, пренебрегалось ролью магнитоприжатого разряда в изоляторе, т. е. считалось, что магнитный поток, поступающий из разряда по внеизоляторной плазме, недостаточен для формирования магнитоприжатого разряда в изоляторе. Это означает, что электрические поля (10) должны быть меньше полей, полученных в [1]\*. Для изолятора оргстекла  $H_8C_1O_2$  из этого условия получаем при  $t(\text{мкс}) < 0.03/H^{1.12}$  (МГс)

$$(12) \quad N_0(\text{см}^{-3})t(\text{мкс}) > 9 \cdot 10^{15} H^{0.6} (\text{МГс});$$

при  $t(\text{мкс}) > 0.03/H^{1.12}$  (МГс)

$$(13) \quad N_0(\text{см}^{-3}) > 2 \cdot 10^{17} H^{1.72} (\text{МГс}).$$

При нарушении условия (11), т. е. при достаточно больших временах, разряд вступит в стационарную стадию, описанную в [1]. При нарушении условий (12), (13), т. е. при достаточно малых плотностях водородной плазмы, на поверхности изолятора возникает рассмотренный в [1] магнитоприжатый разряд.

#### ЛИТЕРАТУРА

1. Гаранин С. Ф. Диффузия сильного магнитного поля в плотную плазму // ПМТФ.— 1985.— № 5.
2. Векштейн Г. Е. Потери магнитного потока при формировании плазменной конфигурации с обращенным полем // ДАН СССР.— 1983.— Т. 271, № 1.
3. Векштейн Г. Е. Эволюция магнитного поля и аномальные тепловые потери в плотной плазме // ЖЭТФ.— 1983.— Т. 84, № 2.
4. Брагинский С. И. Явления переноса в плазме // Вопросы теории плазмы/Под ред. М. А. Леонтьевича.— М.: Атомиздат, 1963.— Т. 1.

Поступила 26/VIII 1986 г.

---

\* Значения электрических полей в «рабочих» формулах [1] для диффузионной и стационарной стадий разряда в водороде и стационарной стадии разряда в оргстекле завышены в 5 раз.